

انواع ریزسازواره و سامانه تولید پلیمر زیست تخریب پذیر پلی هیدروکسی بوتیرات

کیانوش خسروی دارانی، ابراهیم واشقانی فراهانی*⁺

تهران، دانشگاه تربیت مدرس، دانشکده فنی و مهندسی، بخش مهندسی شیمی، گروه بیوتکنولوژی، صندوق پستی ۱۴۳-۱۴۱۱۵

چکیده: با هدف غلبه بر مشکلات زیست محیطی ناشی از تجمع پلاستیک‌های مصنوعی در طبیعت، فعالیت‌های پژوهشی گسترده‌ای در زمینه پلیمرهای زیست تخریب پذیر در حال انجام است. بخش عمده‌ای از این پژوهش‌ها بر روی تولید پلیمرهای زیست تخریب پذیر با استفاده از منابع کربن ارزان قیمت، جداسازی ریزسازواره‌های جدید با سرعت رشد و تولید بالا و نیز ابداع روش‌های جدید استخراج با هدف کاهش قیمت تمام شده پلیمر، متمرکز است. در این مقاله علاوه بر معرفی اجمالی انواع پلیمرهای زیست تخریب پذیر، تولید پلی هیدروکسی بوتیرات به عنوان مشهورترین عضو گروه پلی هیدروکسی آلکانوات‌ها به طور خاص مورد بررسی قرار گرفته است. پس از اشاره به تاریخچه تولید آن، مروری بر انواع ریزسازواره‌های مولد با استفاده از منابع کربن مختلف در سامانه‌های پیوسته، ناپیوسته و ناپیوسته خوراک‌دهی شده صورت گرفته، و سامانه‌های یاد شده از لحاظ بهره‌دهی تولید و نقاط ضعف مقایسه شده‌اند. همچنین انواع روش‌های موجود برای جداسازی پلیمر معرفی و محدودیت‌های هر یک به طور جداگانه بیان شده است.

واژه‌های کلیدی: بیو پلیمر، پلی هیدروکسی آلکانوات، پلی هیدروکسی بوتیرات، منبع کربن، سامانه کشت، ریزسازواره، کشت با تراکم سلولی بالا.

KEY WORDS: Biopolymer, Poly(hydroxyalkanoate), Poly(hydroxybutyrate), Carbon source, Culture system, Microorganism, High cell density culture.

مقدمه

شرایط هوایی کمتر شناخته شده و بسیار پیچیده است، تخریب غیرهوازی PHAs حاصل از کشت ازتوباکتر ونیلاندی UWD در لجن فعال بررسی شده و میزان تبدیل کربن سوپسترا به متان و کربن دی‌اکسید بین ۸۳ تا ۹۶ درصد گزارش شده است [۵]. به هر حال تخریب زیستی در شرایط آزمایشگاهی در مقایسه با شرایط محیطی بسیار متفاوت است [۶] و پیچیدگی‌های بسیاری در این ارتباط وجود دارد. روش‌های متعددی برای اندازه‌گیری تخریب زیستی ارائه شده که شامل کنترل افزایش تعداد یا توده سلولی، اندازه‌گیری تغییرهای حاصل در PHA، تجزیه تولید فرآورده،

تاکنون انواع مختلفی از پلیمرهای زیست تخریب پذیر شناسایی شده و بر تعداد آنها روز به روز افزوده می‌شود [۱]. کشف مکانیسم تخریب این پلیمرها نیز به‌طور فزاینده‌ای رو به پیشرفت است [۲]. عمده پلیمرهای زیست تخریب پذیر پلی‌استرها هستند که تولید آنها با روش‌های زیستی یا شیمیایی صورت می‌پذیرد. انواع این پلیمرها در گروه‌های پلی‌هیدروکسی آلکانوات‌ها (PHAs)، پلی - ال - کاپرولاکتن، پلی‌لاکتید اسید، پلی‌یورتان و پلی‌وینیل الکل قرار دارند. عوامل زیادی مانند ساختار شیمیایی و شرایط محیطی بر تخریب زیستی بیوپلیمرها اثر دارند [۳ و ۴]. اگرچه تخریب در

*E-mail: evf@modares.ac.ir

*عهده دار مکاتبات

رشد، مانند محدودیت منبع نیتروژن، فسفات، منیزیم یا اکسیژن و در حضور مقادیرهای اضافه کربن صورت می‌گیرد. تولید PHAs در سامانه‌های ناپیوسته، ناپیوسته خوراک‌دهی شده^(۱) و پیوسته^(۲) امکان‌پذیر است. از جمله باکتری‌های مولد این پلیمرها *رالتونیا اوتروفا*، *آلکالی ژنزلاتوس*، *ازتوباکتر وینلانیدی*، جنس *سودوموناس وائرشیا کلی* نوترکیب هستند. ریزسازواره‌هایی که قادر به انباشتن PHA می‌باشند به آسانی به‌وسیله رنگ آمیزی با سودان سیاه^(۳) یا نیل آبی^(۴) (لاجورد) قابل تشخیص هستند.

همان‌طور که یادآوری شد PHB یکی از پلیمرهای مشهور گروه PHAs است و ساختمان عمومی آن مطابق شکل ۱ می‌باشد. باکتری *رالتونیا اوتروفا* از جمله مشهورترین ریزسازواره‌های مولد این پلیمر می‌باشد، زیرا قادر است که تا بیش از ۷۵ درصد وزن خشک سلولی پلیمر تولید کند. به این ترتیب تعداد گرانول‌های پلیمر در باکتری *رالتونیا اوتروفا* به ۸ تا ۱۳ عدد، با قطری حدود ۰.۲ تا ۰.۵ میکرومتر می‌رسد (شکل ۲). این باکتری در گذشته با نام *آلکالی ژنر اوتروفوس* شناخته می‌شد و امروزه با استفاده از روش‌های جدید شناسایی در جنس *رالتونیا* قرار گرفته است. اما این باکتری (علیرغم کارایی زیاد) تولید و ذخیره‌سازی PHB را به‌طور معمول از منابع ساده کربنی (مونوساکاریدها) همچون فروکتوز انجام می‌دهد که سوبستراهای ارزان قیمتی برای فرایند محسوب نمی‌شوند. از این رو توجه محققین به یافتن سوبسترای ارزان قیمت برای تولید PHB و نیز بررسی قابلیت تولید سایر ریزسازواره‌ها معطوف شده است، زیرا همان‌طور که اشاره شد برای تولید تجاری این ماده هزینه‌های تولید و استخراج باید به حداقل رسد تا قابل رقابت با پلیمرهای مشتقات نفتی شود [۸]. جدول ۱ انواع باکتری‌های مولد PHB را با استفاده از منابع کربن مختلف نشان می‌دهد [۲۱ - ۲۴].

ناریخچه تحقیقات در زمینه پلی‌هیدروکسی بوتیرات

PHB اولین بار در سال ۱۹۲۵ در انستیتو پاستور پاریس توسط لمون^(۵) در سیتوپلاسم *باسیلوس مگاتریوم* کشف و فرمول کلی آن به صورت $(C_4H_6O_2)_n$ توصیف شد [۲۵].

در سال ۱۹۵۲ نقطه ذوب این پلیمر برابر ۱۸۰ درجه سانتی‌گراد به دست آمد [۲۶]. در سال ۱۹۵۸ *ویلیامسون* و *ویلیکینسون*^(۶) وزن

اندازه‌گیری مصرف اکسیژن و تولید CO_2 و همچنین کاهش وزن پلیمر می‌باشد [۷].

تحقیقات انجام شده روی PHAs حاکی از خاصیت زیست تخریب‌پذیری، سازگاری با سامانه‌های حیاتی، طبیعت پلی‌استری و خاصیت ترموپلاستیکی این پلیمرها است. علاوه بر آن PHAs از منابع تجدیدپذیر تولید می‌شوند. به واسطه این ویژگی‌ها پلی‌هیدروکسی آلکانوات‌ها در زمینه‌های مختلف علوم پزشکی و دامپزشکی، صنایع دارویی و بسته بندی، کشاورزی، محیط‌زیست، بهداشت و سلامتی بشر کاربرد دارند. با توجه به آثار بی‌شمار استفاده از آنها در حیطه علوم، سرمایه‌گذاری‌های کلان به ویژه از سوی کشورهای پیشرفته برای توسعه و تولید علم در این زمینه صورت گرفته و به شکل تصاعدی در حال افزایش است [۸]. پلی‌هیدروکسی بوتیرات (PHB) و کوپلیمر پلی‌هیدروکسی بوتیرات - والرات P(HB-CO-HV) از اعضای مشهور گروه PHAs هستند. ساده‌ترین کاربرد آنها بسته‌بندی ظروف غذا و بطری‌های نوشابه، فیلم‌های پلاستیکی و کیسه‌ها است [۸ و ۹]. همچنین خاصیت زیست تخریب‌پذیری PHAs و سازگاری آنها با سامانه‌های حیاتی سبب شده که از آنها در رهایش کنترل شده داروها، مهندسی بافت و دامپزشکی استفاده شود [۱۰-۱۲]. علیرغم کاربردهای بسیار متعدد پلیمر PHB در صنعت، آنچه استفاده جهان شمول آن را محدود کرده است، قیمت زیاد آن در مقایسه با پلیمرهای پتروشیمیایی است. محاسبات نشان می‌دهند که بیش از ۸۰ درصد قیمت تمام شده پلیمر به منبع کربن و مراحل جداسازی آن مربوط می‌شود [۱۳ و ۱۴]. در حال حاضر راهکارهای مختلفی برای کاهش قیمت PHAs در حال انجام است که در بخش بعد مورد بررسی قرار می‌گیرند [۱۵ - ۲۰].

تعداد بسیاری از باکتری‌ها قادرند PHAs را به عنوان ذخایر کربن و انرژی تحت شرایط محدودیت مواد مغذی و در حضور مقدار اضافی از منبع کربن تولید و ذخیره کنند. وزن مولکولی پلیمرها در گستره $10^5 \times 2$ تا $10^6 \times 3$ دالتون، برحسب نوع ریزسازواره و شرایط رشد متغیر است. PHAs به صورت گرانول‌هایی در داخل سلول انباشته می‌شوند. به‌طور تقریب ۳۰۰ نوع باکتری مختلف، شامل انواع گرم مثبت و گرم منفی، قادر به ذخیره‌سازی انواع PHAs هستند که در بیشتر آنها تجمع پلیمر تحت شرایط نامطلوب

(۱) Fed batch

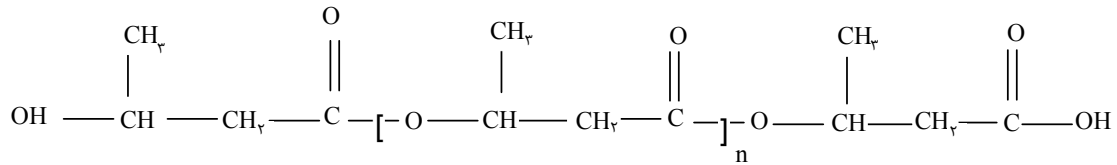
(۲) Continuous

(۳) Sudan black

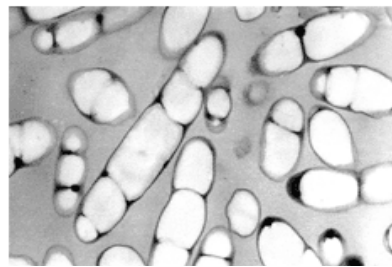
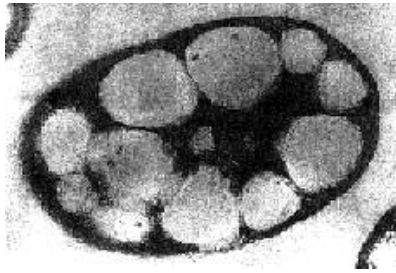
(۴) Nile blue

(۵) Lemogine

(۶) Williamson & Wilkinson



شکل ۱ - ساختمان عمومی PHB.



شکل ۲ - تصویر میکروسکوپ الکترونی از تجمع گرانول های PHB در رالستونیا اوتروفا.

الی ۷۲۰ نانومتر در باکتری های باسیلوس مگاتریوم و باسیلوس سرئوس بررسی و تخلیص شدند. در این تحقیق روش اسپکتروسکوپی برای شناسایی و تعیین کمی PHB تا رقت $50 \mu\text{g.L}^{-1}$ استفاده شد [۲۶]. در سال ۱۹۷۶ PHB از باکتری ازتوباکتر بیجریکی در محیط کشت عاری از آمونیم با منبع کربن گلوکز به دست آمد [۲۷]. نتیجه های مربوط به شناسایی PHB به وسیله کروماتوگرافی گازی در سال ۱۹۷۸ منتشر شد [۲۸]. این روش سریع تر و دقیق تر از روش های قبلی بود و تا رقت $1 \mu\text{g. mL}^{-1}$ حساسیت داشت. در سال ۱۹۸۱ هلمز^(۴) و همکاران فرایند تولید زیستی کوپلیمرهای PHB از منابع کربن متفاوت را توسط رالستونیا اوتروفا در ICI^(۵) ارایه کردند. ایشان کوپلیمر حاصل از رالستونیا اوتروفا را بیوپل نامیدند و تغییر در نسبت اسید پروپیونیک و گلوکز را عامل اصلی در تغییر نسبت اجزای کوپلیمر و تولید بیوپل با نقطه ذوب، خواص مکانیکی و ترموپلاستیکی متفاوت دانستند [۵].

در سال ۱۹۸۶ PHB در سامانه ناپیوسته خوراک دهی شده و توسط باکتری های متان دوست تولید شد [۲۹] و دو سال بعد مطالعات برای شناسایی ساختمان کوپلیمر ۳HB-۴HB با فرمول $[\text{OCH}(\text{CH}_3)\text{CH}_2\text{C}(\text{O})]_x [\text{OCH}_2\text{CH}_2\text{C}(\text{O})]_y$ با روش رزونانس

مولکولی و خواص فیزیکی آن را گزارش نمودند. در همان سال مکرای^(۱) و ویلکینسون مشاهده نمودند که تجمع PHB درون سلول با محدودیت نیتروژن در محیط کشت افزایش می یابد [۲۶]. در اوایل دهه ۱۹۶۰ ربر و باپتیست^(۲) شروع به تولید کمی PHB در دو شرکت جداگانه و با اهداف تجاری نمودند و حق امتیاز تولید و جداسازی آن را به دست آوردند. البته روش تخمیری آنها دارای بهره دهی کم بود و استخراج PHB با حلال، گران تمام می شد. به علاوه PHB به دست آمده به طور کامل خالص نبود، از این رو پروژه تولیدی این شرکت ها به دلیل مشکلات یاد شده رها شد و تولید صنعتی این پلیمر تا یک دهه به تعویق افتاد [۲۶].

در سال ۱۹۶۸ اطلاعات فنی در مورد تخمیر در مقیاس وسیع و نیز مهارت در زمینه فرایندهای پلیمری افزایش چشمگیری پیدا کرد. در این زمان ICI^(۳) باکتری آلکانی ژنر اوتروفوس را (که در سال ۱۹۹۷ رالستونیا اوتروفا نام گرفت) قادر به تولید و تجمع PHB تا بیش از ۷۰ درصد وزن خشک سلولی معرفی کرد. البته کوپلیمرهای PHB به واسطه خواص نزدیک تر به پلی پروپیلن و عدم شکنندگی برای کاربردهای صنعتی مناسب تر شناخته شدند [۲۵].

در سال های ۱۹۷۳ و ۱۹۷۵ گرانول های PHB به قطر ۲۴۰

(۱) Macrae

(۲) Waarber & Baptist

(۳) Imperial Chemical Industries

(۴) Holmes

(۵) Biopol

است. اما به دلیل این که در سامانه ناپیوسته به طور مداوم نسبت منابع کربن و نیتروژن و سایر مواد غذایی موجود در محیط کشت در حال تغییر است، کنترل غلظت مواد ممکن نیست. درحالی که نسبت غلظت منابع کربن به نیتروژن عامل بسیار مهمی در تولید پلیمر محسوب می‌شود و برای هر سوش مقداری مشخص و از پیش تعیین شده است. در این نوع سامانه امکان رسیدن به بهره‌دهی و غلظت زیاد محصول و نیز تراکم سلولی بالا^(۲) (HCDC) ممکن نیست [۸]. شاه‌حسینی و همکاران آزمایش‌هایی در شرایط ناپیوسته و ناپیوسته خوراک دهی شده انجام داده‌اند و به مقایسه عینی بین پروفیل‌های مدل استوکیومتری *مالچندانی*^(۳) و داده‌های آزمایشی خود پرداخته‌اند که این نتیجه‌ها دلالت بر کارایی قابل قبول مدل می‌کند. پارامترهای سینتیکی به دست آمده در این تحقیق دقت مدل را افزایش داده و با بررسی تئوری، محدودیت‌های آن معین شده است [۲۰].

سامانه ناپیوسته خوراک‌دهی شده

معمول‌ترین سامانه‌ای که اغلب برای دستیابی به بهره‌دهی بالا به کار برده می‌شود، کشت ناپیوسته خوراک‌دهی شده است. در این سامانه که امکان کنترل دقیق درصد مواد در محیط کشت فراهم است، غلظت منابع کربن و نیتروژن در حدی که سبب مهار رشد ریزسازواره نشود، ثابت نگه داشته می‌شوند تا بالاترین دانسیته سلولی ممکن حاصل شود. از نظر کارایی تولید و تجمع PHB این سامانه نسبت به سایرین ارجحیت دارد. البته بیشترین موفقیت این نوع سامانه‌ها در استفاده از ریزسازواره‌هایی است که قادرند پلیمر را به صورت وابسته به رشد تولید کنند و در مورد به کارگیری باکتری‌هایی که به صورت غیر وابسته^(۴) یا جزئی وابسته به رشد^(۵) پلیمر را تولید می‌کنند، محدودیت وجود دارد زیرا رسیدن به تراکم سلولی بالا (که رمز موفقیت در تولید ارزان قیمت بسیاری از متابولیت‌های زیستی است) با مشکل مواجه می‌شود. علت اصلی این محدودیت‌ها این است که باید تخمیر در دو مرحله صورت گیرد، ابتدا فرایند تا رسیدن به غلظت سلولی مناسب هدایت شده (مرحله رشد)، سپس با تنظیم نسبت منابع کربن و نیتروژن و نامناسب نمودن شرایط برای رشد، مرحله تولید و تجمع پلیمر آغاز می‌شود. بدیهی است در چنین فرایند دو مرحله‌ای به علت زیاد شدن زمان فرایند، بهره‌دهی تولید کاهش می‌یابد [۱۰ و ۹].

مغناطیسی هسته انجام شد [۳۰]. بالاخره در سال ۱۹۹۰ کمپانی ولا^(۱) در آلمان به تولید اولین محصول تجاری بیوپل به صورت یک بطری زیست تخریب‌پذیر برای بسته‌بندی شامپو اقدام کرد [۲۵]. امروزه راهکارهای تحقیقاتی مختلفی برای کاهش قیمت PHB در حال انجام است که در گروه‌های زیر طبقه‌بندی می‌شوند: جداسازی و پرورش باکتری‌هایی با قابلیت بهره‌دهی بالا و رشد مناسب با استفاده از منبع کربن ارزان قیمت، تحقیق در زمینه بهینه‌سازی شرایط تخمیر و محیط کشت [۱۵-۱۷]، روش‌های استخراج ارزان ولی موثر [۱۸ و ۱۹]، مدل‌سازی و شبیه‌سازی فرایند تولید [۲۰]، استفاده از روش‌های کشت با تراکم سلولی بالا برای کاهش قیمت تمام شده محصول و انتقال ژن باکتری‌ها به گیاهان [۹].

یکی از مراحل بهینه‌سازی محیط کشت، دسترسی به روش‌های اقتصادی طراحی آزمایش است. در این ارتباط و به منظور بهینه‌سازی فرایند پیوسته تولید پلیمر، خسروی و همکاران از دو روش پلاکت برمن و تاگوچی استفاده کرده و بازه تولید پلیمر از منبع کربن فروکتوز توسط باکتری *رالستونیا اوتروفا* را اندازه‌گیری و مقایسه کرده‌اند [۱۵ و ۱۶]. نتیجه‌های این مطالعات نشان داد که شرایط بهینه متغیرهای مورد مطالعه در دو روش، تطابق کامل داشته و عبارتند از: غلظت اولیه فروکتوز 5 g.L^{-1} ، نسبت C/N ۷/۴، شدت تکان دهی 200 rpm ، زمان کشت 40 h ، درجه حرارت 30°C درجه سانتی‌گراد و سن بذر 15 h . در شرایط بهینه غلظت نهایی سلول در محیط کشت به 18 g.L^{-1} رسید در حالی که ۸۵ درصد وزن خشک سلول را PHB تشکیل می‌داد.

فرایندهای تخمیری

سامانه‌های متعددی در تولید PHB به کار برده می‌شوند که هر کدام با محدودیت‌ها و مشکلات ویژه‌ای به شرح زیر مواجه هستند.

سامانه ناپیوسته

در این سامانه عوامل غذایی محدودکننده رشد و محرک تولید PHB (نیتروژن اکسیژن، نیتروژن، پتاسیم و ...) باید به گونه‌ای به محیط کشت افزوده شوند که در فاز تجمع PHB (فاز سکون)، به کمترین مقدار خود برسند. از این سامانه برای تولید هموپلیمر و انواع کوپلیمرها از منابع کربن توسط گونه‌های متفاوت استفاده شده

(۱) Wella

(۲) High cell density culture

() Mulchandani

(۴) Non growth related

(۵) Partially growth related

سامانه پیوسته

با وجود این که در سامانه پیوسته، نسبت به روش ناپیوسته خوراک دهی شده، بهره‌دهی حجمی بالاتر است و غلظت سوبسترا نیز قابل کنترل می‌باشد، اما احتمال آلودگی خیلی بالا بوده و این امر از معایب اصلی سامانه پیوسته به‌شمار می‌رود. جدول ۲ فهرستی از انواع سامانه‌های تخمیری به کار رفته در تولید PHB را نشان می‌دهد [۳۱ - ۵۰].

در مقالات متعدد، شرایط کشت ریز سازواره‌های گوناگون در سامانه‌های مختلف مطالعه و برای رسیدن به تراکم سلولی بالا راهبردهایی ارائه شده که خلاصه‌ای از این تحقیقات در جدول ۳ گردآوری شده است. همان‌طور که در این جدول مشاهده می‌شود، در ارتباط با تولید PHB (مانند بسیاری از متابولیت‌های دیگر) دستیابی به تراکم سلولی در سامانه ناپیوسته خوراک‌دهی شده آسان‌تر است. این امر به دلیل لزوم کنترل دقیق منابع غذایی در محیط کشت تولید PHB است که در این سامانه‌ها عملی‌تر و آسان‌تر از سایرین است. در رابطه با تولید PHB در شرایط هتروتروفی مقاله‌های مروری بسیار جالبی در دهه اخیر به چاپ رسیده است [۶۲ - ۶۵]. در این پژوهش‌ها از سوبستراهای آلی مانند قندها، متانل و اسیدهای آلی استفاده شده و تولید PHAs با کارایی مناسب تنها در دانسیته سلولی خیلی بالا در کشت ناپیوسته خوراک‌دهی شده امکان‌پذیر بوده است [۶۷ - ۷۰]. اما تولید PHAs از CO₂ به عنوان تنها منبع کربن به‌ندرت مورد تحقیق قرار گرفته، زیرا کشت اتوتروفیک باکتری‌های اکسیدکننده هیدروژن^(۱) (HOB) با مشکلاتی مواجه است که عمده‌ترین آنها عبارتند از [۷۱ - ۷۵]:

۱- ترکیب گازی لازم برای رشد اکثر باکتری‌های HOB در فلاسک و روی بشقابک در حدود ۷:۱:۱ = H₂:O₂:CO₂ است که این مخلوط بالای حد بحرانی و در گستره انفجار گاز است.

۲- حلالیت گازهای هیدروژن و اکسیژن در آب (در فشار و دماهای مرسوم برای رشد در سامانه‌های کشت HOB) بسیار پایین است.

۳- اکثر کشت‌های اتوتروفیک HOB با استفاده از فرمنتورهای سنتی انجام می‌گیرد و سوبسترای گازی به طور مداوم خوراک‌دهی شده و گاز خروجی به هدر می‌رود. این امر باعث از دست رفتن سوبسترا و کاهش کارایی مصرف گاز می‌شود. برای جلوگیری از

این مشکل دو نوع سامانه پیشنهاد شده است: سامانه‌های بی‌انتها^(۲) و بازگردشی بسته‌گاز^(۳). در سامانه بی‌انتها، به علت فقدان خوراک‌دهی دائمی سوبسترای گازی، انتقال جرم به کندی انجام شده و بازده تولید پایین است که این امر نقص بزرگی برای این سامانه به‌شمار می‌رود. این در حالی است که در سامانه بازگردشی بسته انتقال جرم، با کارایی زیاد انجام می‌شود. در گزارش دیگری با استفاده از یک حس‌گر جدید هیدروژن محلول، ضریب انتقال جرم کلی حجمی^(۴) هیدروژن یا (K_La)_{H₂} در سامانه تخمیری اندازه‌گیری شده و با ضریب (K_La)_{O₂} مقایسه و ارتباط خطی آنها ارائه شده است. این دانشمندان فرمنتور جدیدی با هوای بالارونده^(۵) و کارایی زیاد انتقال جرم اکسیژن طراحی کردند تا در حالی که غلظت اکسیژن کمتر از حد انفجار نگه داشته می‌شود، کشت اتوتروفیک باکتری و تولید PHB با کارایی مناسب انجام شود [۷۵]. در این تحقیق از هم‌زن سببی شکل^(۶) استفاده شد و خوراک‌دهی اکسیژن به‌طور مستقیم به فرمنتور صورت گرفت و ضریب انتقال جرم حجمی آن برابر 2970 h^{-1} به‌دست آمد.

برای رسیدن به بهره‌دهی بالا در این سامانه مانند سایر فرایندهای تخمیری رسیدن به تراکم سلولی زیاد راهبرد اصلی است [۷۶ - ۷۸]. از مزایای این روش می‌توان کاهش حجم محیط کشت، تسهیل فرایندهای پایین‌دستی، کاهش مواد زاید و فاضلاب، کاهش هزینه تولید فراورده، کاهش هزینه‌های دستگاهی و افزایش بهره‌دهی را نام برد. معایب این روش نیز شامل مهارکنندگی سوبسترا، محدودیت ظرفیت انتقال اکسیژن، تشکیل محصولات جانبی مهارکننده رشد و محدودیت اتلاف حرارت می‌باشند [۷۹]. به هر حال راهبردهای متعددی برای توسعه و بهبود این سامانه‌ها در حال انجام هستند [۸۰ و ۸۱]. در مورد توسعه HCDC در تولید PHB با بهره‌دهی $4 \text{ g L}^{-1} \text{ h}^{-1}$ و 3.14 و غلظت‌های 150 و $230 \text{ g (DCW.L}^{-1})$ گزارش شده است [۸۲ و ۸۳]. در کشت اتوتروفیک HOB، رسیدن به غلظت سلولی زیاد آسان نیست زیرا سوبسترای گازی در آب حل نمی‌شود و بسیار قابل اشتعال است و در موارد محدودی به بهره‌دهی سلولی زیاد دست یافته‌اند [۸۴]. رسیدن به دانسیته سلولی زیاد در کشت HOB به شدت انتقال جرم سوبسترای گازی در محیط کشت بستگی دارد. به‌ویژه که محدودیت هیدروژن منجر به مهار تجمع سلولی می‌شود [۸۵]. از این رو افزودن ۰.۰۵ درصد

(۱) Hydrogen oxidizing bacteria

(۲) Dead end

(۳) Recycle closed circuit sytem

(۴) Total volumetric mass transfer

(۵) Air lift

(۶) Basket type

شده است [۹۳] ضمن وارد کردن ژن مولد PHB، ژن مرتبط با تولید آنزیم آبکافت کننده دیواره سلولی نیز در داخل ژنوم باکتری جاسازی شده است. آنزیم در سیکل تکثیر باکتری تولید شده و پس از رسیدن به غلظت مشخص در زمان طراحی شده، دیواره سلول میزبان را آبکافت می‌کند. به عبارتی عمل گسستن دیواره سلولی از درون سلول انجام می‌شود. مشکل این روش عدم پایداری و توزیع پلاسمید در نسل‌های متوالی است و کارایی آن پس از گذشت زمان به شدت کاهش می‌یابد [۹۳].

به طور کلی می‌توان ادعا کرد گسستن دیواره سلولی با استفاده از روش‌های مکانیکی موفق‌تر از سایر روش‌ها معرفی شده‌اند زیرا بیشتر مقرون به صرفه هستند [۹۴]. تیمر و مویانگ برای گسستن دیواره سلولی و با هدف بازیافت PHB به مقایسه روش‌های شیمیایی و مکانیکی پرداختند [۹۵]. روش شیمیایی منتخب این دانشمندان شامل استفاده از سدیم دودسیل سولفات و هیپو کلریت سدیم بوده و به‌عنوان روش مکانیکی از آسیاب گلوله‌ای و همگن کننده در فشار بالا استفاده کردند. نتیجه این تحقیق نشان می‌دهد که استفاده از سدیم دودسیل سولفات به تنهایی روش موفقی نیست، اما استفاده توأم آن (به مدت ۱ ساعت) به همراه تیمار ۲۴ ساعته با هیپوکلریت سدیم منجر به استخراج ۹۵ درصد کل پروتئین محلول سلولی (به عنوان معیار گسستن سلولی) می‌شود. دستگاه همگن کننده نیز پس از یک پیش تیمار شیمیایی موفق ظاهر می‌شود، اما انسداد نازل دستگاه و تولید حرارت در حین فرایند از نقاط ضعف آن به حساب می‌آید و استفاده از آن را برای استخراج مواد درون سلولی حساس به حرارت نامناسب می‌کند. به‌علاوه این روش تنها در غلظت‌های کم سلولی موفق است و در غلظت‌های بالا کارایی کمتری دارد [۹۵]. هریسون نشان داد که استفاده از بعضی مواد شیمیایی (مواد فعال سطحی آنیونی و کاتیونی تک ظرفیتی) یا پیش تیمار آنزیمی منجر به تضعیف دیواره سلولی و کاهش مصرف انرژی در همگن کننده‌ها شده و امکان انجام فرایند را در فشار کم و تعداد عبور محدود فراهم می‌کند [۹۴]. از نقطه نظر اجرایی استفاده از آسیاب گلوله‌ای برای استخراج پلیمر PHB توصیه می‌شود زیرا مصرف انرژی آن کم است [۱۴]. البته در این روش افزایش سرعت دور همزن و رسیدن آن به یک حد بحرانی منجر به افزایش ناگهانی مصرف انرژی شده و حرارت تولید می‌شود [۹۶]. اما اگر قبل از استفاده از این روش فرایندهای فیزیکی و شیمیایی روی سلول‌ها اعمال شود، اثر مناسبی بر کاهش انرژی لازم در

کربوکسی متیل سلولز به منظور افزایش K_{1a} پیشنهاد شده است [۸۵].

روش‌های استخراج پلیمر

روش‌های مختلفی برای استخراج و جداسازی پلیمر PHB از سلول باکتری گزارش شده است. قدیمی‌ترین این روش‌ها شامل استخراج با استفاده از حلال کلروفرم است. کارایی این روش پس از اعمال پیش تیمار با استن، به ۷۰ درصد می‌رسد [۸۶]. عیب این روش افزایش ویسکوزیته محلول با غلظت بیش از ۵ (w/v) درصد پلیمر است که این امر به نوبه خود برای جداسازی لاشه‌های سلولی از محیط مایع مشکل ساز است. همچنین مصرف مقادیر زیاد حلال سمی در این روش قیمت نهایی محصول را بالا برده و مشکلات زیست محیطی می‌آفریند [۸۷ و ۸۸].

روش دیگر استخراج پلیمر PHB، هضم دیواره سلولی با استفاده از هیپوکلریت سدیم می‌باشد [۲۸]. در این روش اگر زمان تماس سلول با مواد شیمیایی بیشتر از یک ساعت باشد، زنجیره‌های PHB شکسته شده و وزن مولکولی پلیمر به شدت کاهش می‌یابد [۸۹]. این روش اگرچه آسان و موثر است، اما به دلیل تخریب پلیمر در مقیاس زیاد استفاده نمی‌شود. برای کاهش تخریب پلی استر توسط هیپوکلریت سدیم لازم است مقدار توده سلولی، زمان تماس و pH بهینه شود. استفاده توأم از هیپوکلریت سدیم و کلروفرم نیز به عنوان راه حلی دیگر برای جلوگیری از تخریب پلیمر پیشنهاد شده است، اگرچه این راهکار نیز منجر به مصرف مقدارهای قابل توجهی حلال می‌شود [۹۰ و ۹۱].

روش دیگر برای هضم دیواره سلولی استفاده از آنزیم است که با کارایی ۹۰ درصد گزارش شده است [۸۸]. بدیهی است که استفاده از مواد مصرفی گران و پیچیده بودن فرایند، توجیه اقتصادی تولید را زیر سوال می‌برد [۹۲]. همچنین استفاده از آنزیم به‌طور معمول باعث رها شدن ناگهانی نوکلئیک اسید در سوسپانسیون سلولی و افزایش گرانشی مخلوط شده، ادامه عملیات را با مشکل مواجه می‌کند. برای جلوگیری از این حالت، یک مرحله گرم کردن قبل از تیمار آنزیمی باعث تغییر ماهیت و در نتیجه حل شدن DNA در محلول می‌شود. به‌منظور خالص‌سازی و جداسازی PHA، روش استخراج با حلال و یا استفاده از خشک‌کن افشانه‌ای^(۱) به کار می‌رود.

در پژوهش دیگری که باکتری *اشریشیا کلی* نو ترکیب انجام

(۱) Spray dryer

استخراج پلیمر با این روش ۸۵ درصد و قابل مقایسه با دو روش مرسوم استفاده از حلال کلروفرم و سدیم هیپوکلریت بود. در همین گزارش به منظور بررسی اثر روش خشک کردن و آماده سازی سلول و با هدف تسهیل فرایند و کاهش مصرف انرژی در فرایندهای پایین دستی، گسستن دیواره سلولی باکتری های منجمد خشک شده، ۶۰ درجه سانتی گراد خشک شده و باکتری های تازه مقایسه شد. اثر دو نوع اصلاح گر دیگر یعنی استن و متانل (با پیش فرض افزایش حلالیت کربن دی اکسید فوق بحرانی در آب) با تولوئن (با پیش فرض افزایش نفوذپذیری سلول از طریق انحلال چربی های دیواره) بر بازده گسستن سلولی و متوسط وزن مولکولی عددی پلیمر استخراج شده مورد مقایسه قرار گرفتند. اثر سن کشت بر کارایی فرایند بررسی شد. باکتری ۳۰ ساعته علاوه بر محتوای PHB مناسب مقاومت کمتری در برابر گسستن نشان داد.

همچنین با هدف تضعیف دیواره سلولی باکتری قبل از ورود به دستگاه فوق بحرانی، کاهش زمان فرایند و در نتیجه کاهش مصرف انرژی، راهبردهایی مانند اعمال شوک اسمزی (کلرایسدیم ۱۴۰ میلی مولار و حرارت ۶۰ درجه سانتی گراد به مدت ۱ ساعت) و شوک قلیایی (هیدروکسید سدیم ۰/۸-۰/۲ درصد وزنی) مورد بررسی قرار گرفته است [۱۹]. نتایج این تحقیق نشان داد که با افزایش نسبت وزنی هیدروکسید سدیم به توده زیستی، کارایی گسستن سلولی افزایش می یابد و در نسبت (w/w) ۰/۴ درصد بیشترین محتوای پروتئینی سلول در پی دوبار تکرار افت فشار آزاد می شود. الحاق پیش تیمار شوک اسمزی به قلیایی با نسبت (w/w) ۰/۴ درصد قلیا نیز بررسی شد. به این ترتیب بالاترین کارایی گسستن سلولی ۰/۹۵ درصد در پی تنها ۱ بار افت فشار حاصل شد. مشاهده سطح سلول های گسسته شده و انواع دست نخورده با میکروسکوپ الکترونی نشان داد که روش گسستن با سیال فوق بحرانی منجر به قطعه قطعه شدن دیواره سلولی نمی شود [۱۹].

دستگاه به همراه خواهد داشت. از جمله این فرایندها، استفاده از سدیم دو دسیل سولفات (برای تجزیه غشای خارجی و حذف لیپو پلی ساکاریدهای دیواره)، افزودن کلوروسدیم (برای تغییر در قدرت یونی اجزای پوشش سلولی)، آماده سازی با EDTA و اوره، عملیات حرارتی و نیز شوک قلیایی می باشد. البته این عملیات باید به صورتی انجام شود که باعث تخریب فراورده نگردد.

در سال ۲۰۰۳ برای اولین بار حجازی و همکاران استفاده از سیال فوق بحرانی را برای گسستن سلولی و با هدف استخراج PHB معرفی کردند [۱۸]. این فرایند شامل افت ناگهانی فشار پس از نفوذ سیال فوق بحرانی به داخل سلول ها و تورم آنها است. در اثر انبساط ناگهانی گاز داخل سلول، به دیواره باکتری نیرو وارد کرده و منجر به گسستن دیواره سلول می شود. این روش نسبت به سایر روش های مرسوم برای گسستن سلول ساده و در مقایسه با روش صوتی^(۱) قابلیت افزایش مقیاس بیشتری دارد [۹۷] و به طور کامل محیط دوستانه و اقتصادی است، اما این تحقیق نشان داد که استفاده از سوسپانسیون سلول برای ورود به دستگاه سیال فوق بحرانی کارایی کمی دارد و از لحاظ مصرف برق و زمان مقرون به صرفه نیست.

در ادامه این تحقیق، خسروی و همکاران راهبردهای مهمی برای کاهش هزینه بازیافت PHB با روش سیال فوق بحرانی را در گزارش دیگری منتشر کردند [۱۹]. متغیرهای ۴ گانه موثر بر گسستن سلول در ۲ سطح تعریف شده و با استفاده از روش طرح عاملی کامل اثر متغیرهای اصلی و اندرکنش آنها بررسی شد. سپس با استفاده از طراحی تاگوچی اثر متغیرها در ۳ سطح مورد بررسی قرار گرفت. شرایط بهینه گسستن سلول با به کارگیری SC-CO₂ در مدت ۴۰ دقیقه به شرح ذیل گزارش شد: فشار ۲۰۰ بار، دمای ۳۰ درجه سانتی گراد، تولوئن (به عنوان اصلاح گر) ۱ درصد حجمی همراه با ۲ بار تکرار افت فشار. کارایی

جدول ۱- فهرست باکتری های مولد PHB با استفاده از منابع کربن مختلف.

مرجع	ترکیب PHA				مقدار (PHA درصد)	منبع کربن	باکتری
	۳HB	۳HV	۳HHX ^(۲)	۳HO ^(۳)			
۱۸	۱۰۰	۰	۰	۰	۶۸/۸	گلوکانات ۵۰ درصد	آلکالی ژنز اوتروفوس H۱۶
	۲۹/۷	۷۰/۳	۰	۰	۹۱/۴	والرات ۰/۴ درصد	

(۱) Sonication

(۲) Hydroxyoctanoic acid

(۳) Hydroxyhexanoic acid

ادامه جدول ۱

۱۸	۶۰ ن ۹۹٫۷	۶۰ ن ۰	۶۰ ن ۰٫۱	۶۰ ن ۰	۶۰ ن ۵۹٫۱	هگز انوات ۰٫۴ درصد اکتانوات ۰٫۴ درصد	آلکالی ژنر اوتروفوس H۱۶
۱۸	۱۰۰ ۳۲٫۵ ۹۹٫۷ ۸۷٫۸	۰ ۶۷٫۵ ۰ ۱۲٫۱	۰ ۰ ۰٫۱	۰ ۰٫۳ ۰	۹۱٫۵ ۹۳٫۴ ۷۳٫۶ ۸۷٫۸	گلوکانات ۵۰ درصد والرات ۰٫۴ درصد هگز انوات ۰٫۴ درصد اکتانوات ۰٫۴ درصد	آلکالی ژنر اوتروفوس N۹A
۱۸	۱۰۰ ۳۵٫۵ ۹۹٫۷ ۸۱٫۷	۰ ۶۵٫۰ ۰ ۱۸٫۲	۰ ۰ ۰٫۱	۰ ۰٫۳ ۰٫۱	۷۰٫۱ ۹۰٫۱ ۶۲٫۵ ۸۱٫۷	گلوکانات ۵۰ درصد والرات ۰٫۴ درصد هگز انوات ۰٫۴ درصد اکتانوات ۰٫۴ درصد	آلکالی ژنر اوتروفوس TF۹۳
۱۹	۱۰۰ ۲۹٫۱ ۹۹٫۸ ۷۹٫۴	۰ ۷۰٫۹ ۰ ۲۰٫۵	۰ ۰ ۰٫۲ ۰٫۱	۰ ۰ ۰	۵۱٫۱ ۸۷٫۴ ۴۳٫۸ ۷۹٫۴	گلوکانات ۵۰ درصد والرات ۰٫۴ درصد هگز انوات ۰٫۴ درصد اکتانوات ۰٫۴ درصد	آلکالی ژنر اوتروفوس
۲۰	۱۰۰ ۲۳٫۳ ۹۹٫۸ ۵۶٫۰	۰ ۷۶٫۷ ۰ ۹۹٫۸	۰ ۰ ۰ ۰٫۱	۰ ۰٫۲ ۰٫۱	۴۴٫۵ ۸۸٫۲ ۴۰٫۸ ۵۶٫۰	گلوکانات ۵۰ درصد والرات ۰٫۴ درصد هگز انوات ۰٫۴ درصد اکتانوات ۰٫۴ درصد	آلکالی ژنر اوتروفوس CH۳۴
۲۱	۱۰۰ ۲۲٫۹ ۹۹٫۷ ۷۹٫۳	۰ ۷۷٫۱ ۰ ۹۹٫۳	۰ ۰ ۰ ۰٫۱	۰ ۰٫۳ ۰٫۱	۷۲٫۹ ۹۲٫۶ ۸۰٫۷ ۷۹٫۳	گلوکانات ۵۰ درصد والرات ۰٫۴ درصد هگز انوات ۰٫۴ درصد اکتانوات ۰٫۴ درصد	آلکالی ژنر هیدروژن فیلوس M۵۰
۱۸	۱۰۰ - - -	۰ - - -	۰ - - -	۰ - - -	۷۵٫۶ بدون رشد	گلوکانات ۵۰ درصد والرات ۰٫۴ درصد هگز انوات ۰٫۴ درصد اکتانوات ۰٫۴ درصد	آلکالی ژنر لاتوس
۱۸	۱۰۰ ۶۶٫۱ - ۱۰۰	۰ ۳۳٫۹ - ۰	۰ ۰ - ۰	۰ ۰ - ۰	۳۸٫۳ ۴۴٫۶ بدون رشد ۱۶٫۰	گلوکانات ۵۰ درصد والرات ۰٫۴ درصد هگز انوات ۰٫۴ درصد اکتانوات ۰٫۴ درصد	آکواسیبریلیوم اتوتروکینلوم
۱۸	۱۰۰ ۴٫۷ ۶۰ ن ۶۰ ن	۰ ۹۵٫۳ ۶۰ ن ۶۰ ن	۰ ۰ ۶۰ ن ۶۰ ن	۰ ۰ ۶۰ ن ۶۰ ن	۶۵٫۱ ۶۷٫۳ ۶۰ ن ۶۰ ن	گلوکانات ۵۰ درصد والرات ۰٫۴ درصد هگز انوات ۰٫۴ درصد اکتانوات ۰٫۴ درصد	جنس از توپاکتر
۱۸	۱۰۰ ۲٫۷ ۱۰۰٫۰ ۶۰ ن	۰ ۹۷٫۳ ۰ ۶۰ ن	۰ ۰ ۰ ۶۰ ن	۰ ۰ ۰ ۶۰ ن	۷۸٫۹ ۵۶٫۶ ۹٫۰ ۶۰ ن	گلوکانات ۵۰ درصد والرات ۰٫۴ درصد هگز انوات ۰٫۴ درصد اکتانوات ۰٫۴ درصد	پارا کوکوس دنیتریفیکانس
۱۸	۱۰۰ ۸٫۴ - -	۰ ۹۱٫۶ - -	۰ ۰ - -	۰ ۰ - -	۷۴٫۶ ۸۷٫۷ بدون رشد بدون رشد	گلوکانات ۵۰ درصد والرات ۰٫۴ درصد هگز انوات ۰٫۴ درصد اکتانوات ۰٫۴ درصد	تیوباسیلوس A۲

(۱) نام مشخص

جدول ۲- انواع سامانه‌های تخمیری به کار رفته در تولید PHB و PHBV.

مرجع	زمان (h)	بازده تولید (g/L)	PHB (درصد)	سوبسترا (منبع کربن)	سامانه تخمیری	باکتری
۲۸	گ. ن	گ. ن ^(۳)	۴۲٫۸	روغن گیاه ورونیا گالامنزیز ^(۱)	نایپوسته/ فلاسک (۵۰۰mL)	رالستونیا اوتروفا ۱۷۶۹۹
۲۹	گ. ن	گ. ن	۷۸	محیط معدنی در محدودیت آمونیم	نایپوسته/ فرمنتور (۱۸ لیتر)	رالستونیا اوتروفا H ۱۶
۳۰	۳۷	۲۵	۸۵	گلوکز و پیتون ماهی ۵ درصد	ن پ خ ^(۳) / فرمنتور (۲/۵ لیتر)	ازتوباکتر وینلانندی ATCC۵۳۷۹۹
	۳۶	۲۲	۶۶	گلوکز و ملاس ۵ درصد		
۳۰	۱۸	۴	گ. ن	گلوکز و پیتون ماهی ۵ درصد گلوکز	نایپوسته/ فلاسک (۵۰۰mL)	
	۱۲	۳				
۳۱	۸۰	۰٫۲	۲-۸	Low rank coal liquefaction	نایپوسته/ فلاسک (۳۰۰mL)	سودوموناس اولتورانس و ردوکوکوس رابر
۳۲	۳۵	۹-۱۰٫۹	۱۷٫۳- ۱۹٫۷	روغن حاصل از تولید زیستی رامنوز	نایپوسته/ فرمنتور CSTR ^(۴) (۳۰L)	رالستونیا اوتروفا و سودوموناس اولتورانس
	۶۵	۶-۶٫۴	۳۸٫۹- ۴۱٫۳	روغن حاصل از تولید زیستی رامنوز	ن پ خ	
۳۳	گ. ن	گ. ن	گ. ن	گلوکز + آمونیم گلوتامات (۴۰ و ۱۰ mM)	نایپوسته فلاسک	
	۱۴	۰	۰	آمونیم + لاکتات آمونیم + استات آمونیم + پیروات آمونیم + سوسکسینات آمونیم + گلوکز		
۳۳	۲۰	۰٫۱۸	۱۲	لاکتات (بدون آمونیم)	نایپوسته در فلاسک	رودوباکتر اسفه آروئیدس
		۰٫۰۶	۳۹	استات		
۳۳	۲۴	۰٫۲۸	۱۴	پیروات		
		۰٫۰۷۵	۵	سوسکسینات		
۳۳	۲۴	۰٫۰۳	۱۰	گلوتامات + لاکتات		
		۰٫۰۵	۲۵	گلوتامات + استات		
۳۳	۲۴	۰٫۱۸	۶	گلوتامات + پیروات		
۳۴	۴۸	۰٫۲-۳٫۲	۱-۶۰	n- آلکانوئیک اسیدها (C _۶ -C _{۲۲})	نایپوسته/ فلاسک (۵۰۰mL)	جنس الکالی ژنز
	۹۲	۲٫۴۸	۴۴	روغن Rapeseed		
	۴۷	۳٫۱۱	۶۱	روغن زیتون		
	۶۱	۲٫۴۱	۳۱	لارد		
	۴۸	۲٫۴۱	۳۳	روغن سویا		
	۴۸	۲٫۷۹	۳۹	روغن ذرت		
۴۸	۲٫۱۳	۴۰	روغن Palm			

(۱) *Veronia Galamensis*

(۲) گزارش نشده

نایپوسته خوراک دهی شده (۳)

(۴) Continuous stirred tank reactor

ادامه جدول ۲

۳۵	گ ن	<۲	گ . ن	شربت ذرت ملاس نیشکر ملاس چغندر عصاره مالت آمونیم استات + گلوکز آمونیم استات + فروکتوز آمونیم استات + سوکرز آمونیم استات + مالتوز گلیسرول یا سدیم گلوتامات + گلوکز + فروکتوز + سوکرز + مالتوز	نایپوسته / فلاسک (۵۰۰mL)	ازتوباکتر وینلانندی UWD
۳۵	۱۲	۴٫۷ ۵٫۳ ۴٫۹ ۴٫۷ ۷٫۴ ۷٫۳	۶۳:PHBV ۶۶ ۶۵ ۶۵ ۶۴ ۶۳	n- آلکانوات + ملاس چغندر n- آلکانوات بدون ملاس پروپیونات بوئیرات والرات پنتوات اکتانوات	نایپوسته / فرمنتور (۲٫۵ لیتری)	ازتوباکتر وینلانندی ATCC۵۳۷۹۹
۳۶	۴۸-۹۶	۰٫۳۸ ۰٫۴۰ ۰٫۲۵ ۰٫۳۵ ۰٫۴۵ ۱٫۴۴ ۰٫۵۱ ۰٫۸ ۰٫۰۸	۵۰ ۵۹ ۵۰ ۵۸ ۲۴ ۴۶ ۲۶ ۵۳ ۱۵	آلکاندیوئیک اسید ^(۱) مانند: سوکسینیک (C _۴) گلوتاریک (C _۵) آدیپیک (C _۶) سوبریک (C _۸) آزلائیک (C _۹) اسید چرب هیدروکسیله: ۱۲- هیدروکسی استئاریک رسینولئیک ^(۲) روغن کرچک ^(۳) هیدروکسی اکتانویک	نایپوسته / فلاسک (۵۰۰mL)	جنس آلکالی ژنر
۳۷	۳۰ ۴۰ ۴۰ ۴۰	۶٫۱ نامشخص نامشخص نامشخص	۳۷ ۵۰ ۴۲/۵ ۳۴/۵	متانل ≈ در محدودیت آمونیم ≈ در محدودیت منیزیم ≈ در محدودیت فسفات	نایپوسته / (۱۵L) ن پ خ / (۱۵L)	سودوموناس ^(۴)
۳۹	۲۴	۰٫۱۶ ۰٫۲۸ ۱	۷۳ ۵۹ ۴۸	ملاس چغندر ۵ درصد همراه با اکسیژن محلول ۵ درصد ۱۰ درصد، ۲۰ درصد	نایپوسته / فرمنتور (۲٫۵ لیتری)	ازتوباکتر وینلانندی UWD

(۱) اسیدهای با تعداد کربن زوج و فرد، PHB و اسیدهای هیدروکسیله با اتم‌های کربن فرد PHBV تولید می‌کنند.

(۲) Ricinoleic acid

(۳) Castor

(۴) Pseudomonas

ادامه جدول ۲

۴۰	۷۲	۰/۵۰	۲۳	دکانوات + اتانل + گلوکز	نایبوسته / فلاسک و فرمنتور (۰/۵ و ۵ L)	سودوموناس ائروژینوزا IFO۳۹۲۴
۴۰	۷۲	۰/۲	۱۰	دکانوات، اتانل و گلوکز ^(۱)	نایبوسته / فلاسک و فرمنتور (۰/۵ و ۵ L)	سودوموناس ائروژینوزا PA۰۱
	۷۲	۰/۶۸	۲۲			سودوموناس ائروژینوزا IFO۳۷۵۵
	۷۲	۰/۵۸	۲۱			سودوموناس پوتیا IFO۱۴۱۶۴
۴۱	۲۴	۰/۷۳	۰/۴۹	n - آلکانوئیک اسیدها	نایبوسته	سودوموناس اولئوورانس
		۰/۱	۵	ننائوات ^(۲)		
		۰/۲	۲۲	کاپرات		
		۰/۶	۴۱	هپتانوات		
		۰/۴	۳۷	اکتانوات		
۴۲	۲۴	۰/۳۷	۷۰	فروکتوز	نایبوسته / فلاسک (۵۰۰mL)	رالستونیا اوتروفا H۱۶
		۱/۲	۱۱	زایلوز		
		۰/۸۳	۲۲	فوماریک		
		۱/۳	۱۳	ایتاکونیک		
		۱/۳	۴۷	لاکتیک		
۱/۳	۵۸	پروپیونیک				
۴۳	۴۸	۱/۵	۲۰	سوکروز و کلرید آمونیم	نایبوسته / فلاسک (۵۰۰mL)	B-۱۲۴ باسیلوس مگاتریوم
۴۴	۱۲-۲۱	۳۰	PHBV ۳۷	آب پنیر به همراه قند معکوس	ن . پ . خ ^(۳) / فرمنتور (۴ لیتری)	DSM۵۴۵ رالستونیا اوتروفا
۴۵	۴۸-۹۶	۰/۳-۰/۵	PHBV ۸-۱۹	۴۱ بوتان دی ال و پنتانل	ن . پ . خ	سودوموناس اسیدوورانس ^(۴)

جدول ۳ - انواع سامانه‌های تخمیری در تولید PHAs با هدف رسیدن به تراکم سلولی بالا.

مرجع	بهره‌دهی (g/L.h)	غلظت سلول (g/L)	PHA (درصد)	سامانه تخمیری	سوبسترا	باکتری
۴۶	۲	۱۱۲	۴۰	ن . پ . خ / (۳ لیتری)	محیط کشت ۲ فازی حاوی n-اکتان (۱۰ درصد v/v)	سودوموناس اولئوورانس
۴۷	۰/۱۷ ۰/۵۸	۲-۳ ۱۱/۶	۳۵	پیوسته (۳ لیتری) $D = 0.2 h^{-1}$	n-اکتان (۱۲/۵ درصد) + آمونیم ۱۶/۷ mM $\approx 116/6 \text{ mM}$	
۴۸	۰/۰۹ ۰/۰۵	۲/۲۵ ۱/۳۲	۴۶/۷ ۸/۳	پیوسته (۳ لیتر) $D = 0.09 h^{-1}$	n-اکتان (۱۵ درصد حجمی)	
				پیوسته ۲ مرحله در کموستات (۳ L) $D = 0.46 h^{-1}$	n-اکتان (۱۵ درصد حجمی)	

(۱) این باکتری قادر است با تولید داخل سلولی آنزیم PHB دهیدروژناز، PHB را به‌عنوان تنها منبع کربن و انرژی مصرف کند.

(۲) Nonaoate

(۳) نایبوسته خوراک‌دهی شده (۳)

(۴) Pseudomonas acidovorance

ادامه جدول ۳

۴۹	۱/۰۶ ۱/۰۶ ۰/۱۷۵	۱۰/۵ ۱۸ ۲/۱۴	۳۸/۵ ۶۳ ۴۱	$h_1 = 0.2 h^{-1}$ $h_2 = 0.4 h^{-1}$ تک مرحله $h_1 = 0.2 h^{-1}$		
۵۰	۰/۱۹	۲/۲۸	۵۳	نایبوسته (۸ لیتر)	استات و بوتیریک اسید	ناتریالبا ^(۱) (جداسازی شده از خاک پرنمک مصر)
۵۱	۲/۱۵۷	۱۶۴	۷۶	ن . پ . خ (pH ستات)	گلوکز ۱۰-۲۰ g/L	رالستونیا اوتروفا NCIMB ۱۱۵۹۹
۵۲	۲/۲۴۶	۲۰۶	۶۶	ن . پ . خ	متانل ۰/۵ g/L اکسیژن محلول: 2.5 ± 0.5 ppm	سودوموناس
۵۳	۰/۹	۳/۴	۷۵	ن . پ . خ PH ستات (۵ L)	بوتیریک اسید ۳ g/L	رالستونیا اوتروفا ATCC ۱۷۶۹۹
۵۴	۰/۲۱	۱/۴۲	۴۹-۵۵	ن . پ . خ (۵ L)	بوتیریک اسید و والریک ۳-۰/۳ g/L	
۵۵	۰/۲۵	۲/۵	۵۳	ن . پ . خ (۵ L)	بوتیریک اسید ۳-۱ g/L	
۵۶	۰/۴۶	۱۷/۶	۴۵	نایبوسته ۲/۵ L	سوکروز ۳۰ g/L آمونیم سولفات (C/N=)	آلکالی ژنرلاتوس DSM-۱۱-۲۳
۵۷	۰/۰۲۵	۲/۵	۲۸	یبوسته / کموستات $D = 0.1 h^{-1}$	فنل و سدیم بنزوات ۰/۷۲ g/L	واریووراکس پارادوکسوس
۵۷	۰/۰۶	۳	۱۰	یبوسته / کموستات $D = 0.1 h^{-1}$	آمونیم ۰/۳ g/L فنل ۱ g/L	رالستونیا اوتروفا DMSZ ۴۰۵۸
۵۸	۱/۱۵	۲۱/۹۶	۶۳	ن پ PH ستات در فرمانتور ۸	سوکروز ۱/۴-۵۶ g/L آمونیم ۰/۲-۰/۵ g/L	آلکالی ژنرلاتوس ATCC ۲۹۷۱۴

(۱) Natrialba

تاریخ دریافت: ۱۳۸۹/۸/۸ ؛ تاریخ پذیرش: ۱۳۹۰/۲/۱۲

مراجع

- [1] Castella, J. M., Urmenta, J., Lafuente, R., Navarrte, A. and Guerrero, R., Biodegradation of Poly(hydroxy alkanate) in Aerobic Sediments, *Inter. Biodeter. Biodeg.*, **74**, 155 (1995).
- [2] Shimao, M., Biodegradation of Plastics, *Curr. Opinion Biotechnol.*, **12**, 242 (2001).
- [3] Schlegel, H. G., Gotscholk, G. and Bartha, R., Formation and Utilization of Poly(hydroxy butyrate) by *Knallgas* Bacteria (*hydrogenomonos*), *Nature*, **191**, 463 (1961).
- [4] Nishida, H. and Tokiwa, Y., Effects of Higher Order Structure of Poly(hydroxy butyrate) on its Biodegradation, I. Effects of Heat Treatment on Microbial Degradation, *J. Appl. Polym. Sci.*, **46**, 1467 (1992).
- [5] Kumagai, Y. and Doi, Y., Enzymatic Degradation of Binary Blends of Microbial Poly(hydroxy

- butyrate) with Enzymatically Active Polymers, *Polym. Degrad. Stability*, **37**, 253 (1992).
- [6] Swift, G., Biodegradability of Polymers in the Environment: Complexities and Significance of Definitions and Measurements, *FEMS Microbiol. Rev.*, **103**, 339 (1992).
- [7] Aminabhavi, T. M. and Balunggi, H., A Review on Biodegradable Plastics, *Polym. Plast. Technol. Eng.*, **29**(3), 235 (1990).
- [8] Brandl, H., Gross, C. A. N., Lenz, R. W. and Fuller, R. C., Plastics from Bacteria and for Bacteria: Poly(hydroxybutyrate) as Natural Biodegradable Polyesters, *Adv. Biochem. Eng.*, **41**, 77 (1990).
- [9] Griffin, G. J. L., "Chemistry and Technology of Biodegradable Polymers", Chapman & Hallm (1994).
- [10] Doi, Y., "Microbial Polyesters", Chapman & Hallm (1990).
- [11] Saad, B., Neuenschwander, P., Uhlschmid, G. K. and Suter, U. W., New Versatile Elastomeric Degradable Polymer Materials for Medicine, *Inter. J. Biomacromol.*, **13**, 158 (2001).
- [12] Bariede, K., Transport Water and Molecule Mobility in Novel Barrier Membranes with Different Morphology Features, *Desalination*, **126**, 153 (1999).
- [13] Ling, Y., Wong, H. H., Thomas, C. J., Williams, D. R. G. and Middelberg, A. P. J., Pilot Scale Extraction of Poly(β -hydroxybutyric acid) from Recombinant *E. coli* by Homogenization and Centrifugation, *Bioseparation*, **7**, 9 (1997).
- [14] Tamer, I. M., Moo-Young, M. and Chisti, Y., Optimization of Poly(β -hydroxybutyric acid) Recovery from *Alcaligenes latus*: Combined Mechanical and Chemical Treatments, *Bioprocess Eng.*, **19**, 459 (1998).
- [15] Khosravi-Darani, K., Vasheghani-Farahani, E. and Shojaosadati, S. A., Application of the Plackett-Burman Statistical Design to Optimize Poly(hydroxybutyrate) Production by *Ralstonia eutropha* in Batch Culture, *Iran. J. Biotechnol.*, **1**(3), 155 (2003).
- [16] Khosravi-Darani, K., Vasheghani-Farahani, E., and Shojaosadati, S. A., Application of the Taguchi Design for Production of Poly(hydroxybutyrate) by *Ralstonia eutropha*, *Iran. J. Chem. & Chem. Eng.*, **23**(1), 131 (2004).
- [17] Tabandeh, F. and Vasheghani-Farahani, E., Biosynthesis of Poly(β -hydroxybutyrate) as a Biodegradable Polymer, *Iranian Polym. J.*, **12**, 37 (2003).
- [18] Hejazi, P., Vasheghani-Farahani, E. and Yamini, Y., Supercritical Disruption of *Ralstonia eutropha* for Recovery of Poly(β -hydroxybutyrate), *Biotechnol. Prog.*, **19**, 15 (2003).
- [19] Khosravi-Darani, K., Vasheghani-Farahani, E., Shojaosadati, S. A. and Yamini, Y., The Effect of Process Variable on Poly(β -hydroxybutyrate) Recovery by Supercritical Fluid Cell Disruption, *Biotechnol. Prog.*, **20**, 1757 (2004).
- [20] Shahhosseini, Sh., Sadeghi, M.T. and Khosravi-Darani, K., Simulation and Model Validation of Batch Poly(hydroxy butyrate) Production Process Using *Ralstonia eutropha*, *Iran. J. Chem. & Chem. Eng.*, **22**(2), 35 (2003).

- [21] Liebergesell, M., Hustede, E., Timm, A., Steinbuchel, A., Fuller, R. C., Len, Z. R. W. and Schlegel, H. G., Formation of Poly(hydroxyalkanoate) by Phototrophic and Chemolithoautotrophic Bacteria, *Arch. Microbiol.*, **155**, 415 (1991).
- [22] Schwien, U. and Schmidt, E., Improved Degradation of Monochlorophenol by Constructed Strain, *Appl. Environ. Microbiol.*, **44**, 33 (1982).
- [23] Mergeay, M., Houba, C. and Gerits, J., Extra Chromosomal Inheritance Controlling Resistance to Cadmium and Zinc Ions: Evidence from Curing in a *Pseudomonas*, *Arch. Int. Physiol. Biochem.*, **86**, 440 (1978).
- [24] Ohi, K., Takaida, N., Komemushi, S., Okazaki, M. and Miura, Y., A New Species of Hydrogen-Oxidizing Bacterium, *Appl. Microbiol.*, **25**, 53 (1979).
- [25] Griffin, G. J. L., "Chemistry and Technology of Biodegradable Polymers", Blackie Academic & Professional, London (1994).
- [26] Juttner, R. R., Lafferty, R. M. and Knackmuss, H. J., A Simple Method for the Determination of the Poly(hydroxybutyrate) in Microbial Biomass, *Eur. J. Appl. Microbiol.*, **1**, 233 (1975).
- [27] Jackson, F. A. and Edwin, A., Regulation of the Tricarboxylic Acid Cycle and Poly(hydroxybutyrate) Metabolism in *Azotobacter beijirinki* Grown Under Nitrogen or Oxygen Limitation, *J. General. Microbiol.*, **97**, 303 (1976).
- [28] Braunegg, G., Lefebvre, G. and Genser, K. F., Poly(β -hydroxyalkanoates), Biopolyesters from Renewable Resources: Physiological and Engineering Aspects, *J. Biotechnol.*, **65**, 127 (1998).
- [29] Takahiro, S., Yamane, T. and Shimizu, S., Mass Production of Poly(hydroxybutyrate) by Fully Automated Fed Batch Culture of Methylophilum, *Appl. Microbiol. Biotechnol.*, **23**, 322 (1986).
- [30] Doi, Y., Kunioka, M., Nakamura, Y. and Soga, K., Nuclear Magnetic Resonance Studies on Unusual Bacterial Copolyesters of 3HB and 4HB, *Macromolecules*, **21**, 2722 (1988).
- [31] Ayorinde, F. O., Saeed, K. A., Eribo, E., Morrow, A., Collis, W. E., McInnis, F., Pollack, S. K. and Eribo, B., Production of Poly(hydroxybutyrate) from Saponified *Veronia galamensis* Oil by *Alcaligenes eutrophus*, *J. Ind. Microbiol. Biotechnol.*, **21**, 46 (1998).
- [32] Sonneleitner, B., Heinzle, G., Braunegg, G. and Lafferty, R. M., Formal Kinetics of Poly(hydroxybutyrate) Production in *Alcaligenes eutrophus* H16 and *Mycoplana rubra* to the Dissolved Oxygen Tension in Ammonium-Limited Batch Cultures, *Eur. J. Appl. Microbiol.*, **7**, 1 (1979).
- [33] Page, W. J. and Cornish, A., Growth of *Azotobacter vinelandii* in Fish Peptone Medium and Simplified Extraction of Poly(hydroxybutyrate), *Appl. Environ. Microbiol.*, **56**, 4236 (1993).
- [34] Fuchtenbusch, B. and Steinbuchel, A., Biosynthesis of Poly(hydroxyalkanoate) from Low Rank Coal Liquefaction Products by *Pseudomonas oleovorance* and *Rhodococcus ruber*, *Appl. Microbiol. Biotechnol.*, **52**, 91 (1999).
- [35] Fuchtenbusch, B., Wullbrandt, D. and Steinbuchel, A., Production of Poly(hydroxyalkanoate) by *Ralstonia eutropha* and *Pseudomonas oleovorance* from an Oil Remaining from

- Biotechnological Rhamnose Production, *Appl. Microbiol. Biotechnol.*, **53**, 167 (2000).
- [36] Khatipov, E., Miyake, M., Miyake, J. and Asads, Y., Accumulation of Poly(hydroxybutyrate) by *Rhodobacter sphearoides* on Various Carbon Source and Nitrogen Substrates, *FEMS Microbiol. Lett.*, **18**, 39 (1998).
- [37] Akiyama, M., Taima, Y. M., Doi, Y., Production of Poly(hydroxybutyrate) by a Bacterium of the Genus *Alcaligenes* Utilizing Long Chain Fatty acids, *Appl. Microbiol. Biotechnol.*, **37**, 698 (1992).
- [38] Page, W. J., Production of Poly(hydroxybutyrate) by *Azotobacter vinelandii* UWD During Growth on Molasses and Other Complex Carbon Sources, *Appl. Microbiol. Biotechnol.*, **31**, 329 (1989).
- [39] Akiyama, M. and Doi, Y., Production of Poly(hydroxybutyrate) from Alkanedioic Acids and Hydroxylated Fatty Acids by *Alcaligenes* Sp, *Biotechnol. Lett.*, **15**(2), 163 (1993).
- [40] Daniel, M., Choi, J. H., Kim, J. H. and Lebeault, J. M., Effect of Nutrient Deficiency on Accumulation and Relative Molecular Weight of Poly(hydroxybutyrate) by Methylophilic Bacterium *Pseudomonas* 135, *Appl. Microbiol. Biotechnol.*, **37**, 702 (1992).
- [41] Daniel, M., Barbotin, J. N., Kim, J. H. and Lebeault, J. M., Partial Purification and Characterization of Poly(hydroxybutyrate) Dehydrogenases of a Methylophilic Bacterium *Pseudomonas* 135, *Appl. Microbiol. Biotechnol.*, **37**, 707 (1992).
- [42] Chen, G. and Page, W. J., The Effect of Substrate on the Molecular Weight of Poly(hydroxybutyrate) Produced by *Azotobacter vinelandii* UWD, *Biotechnol. Lett.*, **16**(2), 155 (1994).
- [43] Horib, K., Marsudi, S. and Unno, H., Simultaneous Production of Poly(hydroxyalkanoate) and Rhamnolipids by *Pseudomonas aeruginosa*. *Biotechnol. Bioeng.*, **78**(6), 699 (2002).
- [44] Gross, R. A., DeMello, C., Lenz, R. W., Brandl, H. and Fuller, C., Biosynthesis and Characterization of Poly(hydroxyalkanoate) Produced by *Pseudomonas oleovorance*, *Macromolecules*, **22**, 1106 (1989).
- [45] Linko, S., Vaheri, H. and Seppala, J., Production of Poly(hydroxy butyrate) by *Alcaligenes eutrophus* on Different Carbon Sources, *Appl. Microbiol. Biotechnol.*, **39**, 11 (1993).
- [46] Kato, N., Konishi, H., Shimao, M. and Sakazawa, C., Production of Poly(hydroxybutyrate) Trimer by *Bacillus megaterium* B124, *J. Ferment. Bioeng.*, **73**(3), 246 (1992).
- [47] Maranogoni, C., Furigo, A. and Glancia, M. F., Production of Poly(hydroxybutyrate) by *Ralstonia eutropha* in Whey and Inverted Sugar with Propionic Acid Feeding, *Process Biochem.*, **38**, 137 (2002).
- [48] Kimura, H., Yoshida, Y. and Doi, Y., Production of Poly(hydroxybutyrate) by *Pseudomonas acidovorance*, *Biotechnol. Lett.*, **14**(6), 149 (1992).
- [49] Kellerhals, M. B., Hazenberg, W. and Witholt, B., High Cell Density Fermentation of *Pseudomonas oleovorance* for the Production of MCL-PHA in two Liquid Phase Media, *Enzyme Microbiol. Technol.*, **24**, 111 (1999).

- [50] Preusting, H. and Hazenberg, W., Continuous Production of Poly(hydroxybutyrate) by *Pseudomonas oleovorance* in a High Cell Density, Two Liquid Phase Chemostat, *Enzyme Microbiol. Technol.*, **15**, 311 (1993).
- [51] Preusting, H., Kingama, J. and Witholt, B., Physiology and Polyester Formation of *Pseudomonas oleovorance* in Continuous two Liquid Phase Cultures, *Enzyme Microbiol. Technol.*, **13**, 770 (1991).
- [52] Jung, K., Hazenberg, W. and Prieto, M. W., Two Stage Continuous Process Development for the Production of Medium Chain Length PHAs. *Biotechnol. Bioeng.*, **72**(1), 19 (2001).
- [53] Hezayen, F. F., Rehm, B. H. A. and Eberhardt, R., Polymer Production by 2 Newly Isolated Extremely Halophilic Archaea: Application of a Novel Corrosion Resistance Bioreactor. (2000).
- [54] Kim, B. S., Lee, Sc., Lee, S. Y. and Chang, H. N., Production of Poly(hydroxybutyrate) by Fed Batch Culture of *Ralstonia eutropha* with Glucose Concentration Control. *Biotechnol. Bioeng.*, **43**, 892 (1994).
- [55] Suzuki, T., Yamane, T. and Shimizu, S., Mass Production of Poly(hydroxybutyrate) by Fully Automatic Fed Batch Culture of Methylotroph. *Appl. Microbiol. Biotechnol.*, **23**, 322 (1989).
- [56] Shimizu, H., Tamira, S., Shioya, S. and Suga, K., Kinetics Study of Poly(hydroxybutyrate) Production and Its Molecular Weight Distribution Control in Fed Batch Culture of *A. eutrophus*, *J. Ferment. Bioeng.*, **76**(6) 465 (1993).
- [57] Ishihara, Y., Shimizu, H. and Shioya, S., Mole Fraction Control of Poly(hydroxybutyrate) in Fed Batch Culture of *A. eutrophus*, *Biotechnol. Bioeng.*, **81**(5), 422 (1994).
- [58] Shimizu, H., Kozaki, Y., Kodama, H. and Shioya, H., Maximum Production Strategy for Biodegradable Copolymer PHBV in Fed Batch Culture of *Alcaligenes eutrophus*, *Biotechnol. Bioeng.*, **62**(5), 518 (1998).
- [59] Cho, G. D., Yoo, J. Y., Oh, J. T. and Kim, W. S., Study on the Biosynthesis of Poly(hydroxybutyrate) With *Alcaligenes latus*, *Hwahak Konghak*, **35**, 412 (1997).
- [60] Masow, T. and Babel, W., Calorimetrically Recognized Maximum Yield of Poly(hydroxybutyrate) Continuously Synthesized from Toxic Substrate, *J. Biotechnol.*, **77**, 247 (2000).
- [61] Grothe, E. and Chisti, Y., Poly(hydroxybutyrate) Thermoplastic Production by *Alcaligenes latus* Behavior of Fed Batch Culture, *Biotechnol. Bioeng.*, **22**, 441 (2000).
- [62] Choi, J. and Lee, S. Y., Process Analysis and Economic Evaluation for Poly(hydroxybutyrate) Production by Fermentation, *Bioprocess Eng.*, **17**, 335 (1997).
- [63] Lee, S. Y., Bacterial Poly(hydroxyl alkananoates), *Biotechnol. Bioeng.*, **49**, 1 (1996).
- [64] Steinbuchel, A. and Huchtenbusch, B., Bacterial and Other Biological Systems for Polyester Production, *Trends Biotechnol.*, **16**, 419 (1998).
- [65] Sasikala, C. and Ramana, C. V., Biodegradable Polyesters, *Adv. Appl. Microbiol.*, **42**, 197 (1996).

- [66] Madison, Y., Pkaki, M., Ohi, K. and Nishimura, T., Growth Kinetics of Hydrogen Bacterium *Alcaligenes hydrogenophilus*, *Agric. Rev.*, **63**, 1 (1981).
- [67] Yamane, L., Fukunaga, M., Dee, Y. W. Increase Poly(hydroxybutyrate) Production by High Cell Density Fed Batch Culture of *Alcaligenes Latus*, a Growth Associated Poly(hydroxybutyrate) Producer, *Biotechnol. Bioeng.*, **50**, 197 (1996).
- [68] Wang, F., Lee, S. Y. Production of PHV by Fed Batch Culture of Fermentation Suppressed Recombinant *E.coli*, *Appl. Environ. Microbiol.*, **63**, 4765 (1997).
- [69] Ahnwsipark, S. J., Lee, S. Y. Production of Poly(hydroxybutyrate) by Fed Batch Culture of Recombiant *E. coil* with a Highly Concentrated Whey Solution, *Appl. Environ. Microbiol.*, **66**, 3624 (2000).
- [70] Rhee, Y. H., Jang, J. H. and Roger, P. L., Production of Copolymer Consisting of 3-hydroxybutyrate and 3-hydroxyvalerate by Fed Batch Culture of *Alcaligenes* Sp. SH-69, *Biotechnol. Lett.*, **15**, 377 (1993).
- [71] Tanaka, K. and Ishizaki, A., Production of Poly(hydroxybutyrate) from CO₂ by a Two Stage Culture Method Employing *Alcaligenes eutrophus* ATCC 17697, *J. Ferment. Bioeng.*, **77**(4), 425 (1997).
- [72] Ishizaki, A. and Tanaka, K., Batch Culture of *Alcaligenes eutrophus* ATCC 17697^T Using Recycled Gas Closed Circuit Culture System, *J. Ferment. Bioeng.*, **69**(3), 170 (1990).
- [73] Tanaka, K., Ishizaki, A. and Stanbury, P. F., Accumulation of Polyphosphate and Substrate Gas Utilization Efficiency in Poly(hydroxybutyrate) Accumulation Phase of Autotrophic Batch Culture of *Alcaligenes eutrophus* ATCC17697, *J. Ferment. Bioeng.*, **74**(5), 288 (1992).
- [74] Takeshita, T., Tanaka, K., Ishizaki, A. and Stanbury, P. F., Development of a Dissolved Hydrogen Sensor and Its Application of Evaluation of Hydrogen Mass Tranfer, *J. Ferment. Bioeng.*, **76**(2), 148 (1993).
- [75] Tanaka, K., Ishizaki, A., Kanamaru, J. and Kawamo, T., Production of Poly(hydroxybutyrate) from CO₂, H₂ and O₂ by Cultivation of *Alcaligenes eutrophus*, *Biotechnol. Bioeng.*, **45**, 268 (1995).
- [76] Riesenber, D., High Cell Density cultivation of *Escherichia coli*. *Curr. Opin. Biotechnol.*, **2**, 380 (1999).
- [77] Markl, H., Zenneck, C., Dubach A. and Ogonna, J. C., Cultivation of *Escherichia coli* to High Cell Densities in a Dialysis Reactor, *Appl. Microbiol. Biotechnol.*, **39**, 48 (1993).
- [78] Lee, S. Y., High Cell Density of *Escherichia coli*, *Trends Biotechnol.*, **19**, 98 (1996).
- [79] Vande Walle, M. and Shiloach, J., Proposed Mechanism of Acetate Accumulation in Two Recombinant *Escherichia coli* Strains During High Cell Density Fermentation, *Biotechnol. Bioeng.*, **57**, 71 (1998).
- [80] Zhang, X. W., Sun, T., Liu, X., Gu, D. X. and Huang, X. N., Human Growth Hormone

- Production by High Cell Density Fermentation of Recombinant *Escherichia coli*, *Process Biochem.*, **33**, 683 (1998).
- [81] Enfors, S. O. Physiological Responses to Mixing in Large-scale Bioreactors, *J. Biotechnol.*, **85**, 175 (2001).
- [82] Ryu, H. W., Hahn, S. K., Chang, Y. K. and Chang, H. N., Production of Poly(hydroxybutyrate) by High Cell Density Fed Batch Culture of *Alcaligenes eutrophus* with Phosphate Limitation, *Biotechnol. Bioeng.*, **55**, 28 (1997).
- [83] Preusting, H., Houten, R. V. and Hoefs, A., High Cell Density Cultivation of *P. oleovorans*: Growth and Production of Poly(hydroxybutyrate) on 2 Liquid Phase Batch and Fed Batch System, *Biotechnol. Bioeng.*, **40**, 550 (1993).
- [84] Ishizaki, A., Tanaka, K. and Taga, N., Microbial Production of Poly(hydroxybutyrate) from CO₂, *Appl. Microbiol. Biotechnol.*, **57**, 6 (2001).
- [85] Taga, N., Tanaka K. and Ishizaki A., Effects of Rheological Changes by Addition of Carboxy Methylcellulose in Culture Media of an Air- Lift Fermentor on Poly(hydroxybutyrate) Productivity in Autotrophic Culture of Hydrogen Oxidizing Bacterium, *Alcaligenes eutrophus*, *Biotechnol. Bioeng.*, **53**(5), 529 (1997).
- [86] Ramsay, J. A., Berger, E., Voyer, R., Chavarie, C. and Ramsay, B. A., Extraction of Poly(R-hydroxybutyrate) Using Chlorinated Solvents, *Biotechnol. Tech.*, **8**, 589 (1994).
- [87] Choi J. and Lee S. Y., Factors Affecting the Economics of Poly(R-hydroxyalkanoate) Production by Bacterial Fermentation, *Appl. Microbiol. Biotechnol.*, **51**, 13 (1995).
- [88] Hocking, P. J. and Marchessault, R. H., Biopolyesters. In: "Chemistry and Technology of Biodegradable Polymers", Griffin, G. J. L., Eds., London: Chapman and Hall: London, pp. 48-96 (1994).
- [89] Harrison, S. T. L., Bacterial Cell Disruption: A Key Unit Operation in the Recovery of Intracellular Products, *Biotechnol. Adv.*, **9**, 217 (1991).
- [90] Hahn, S. K., Chang, Y. K., Kim, B. S., Lee, K. M. and Chang, H. N., The Recovery of Poly(R-hydroxybutyrate) by Using Dispersions of Sodium Hypochlorite Solution and Chloroform, *Biotechnol. Tech.*, **7**, 209 (1993).
- [91] Hahn, S. K., Chang, Y. K., Kim, B. S. and Chang, H. N., Optimization of Microbial Poly(R-hydroxybutyrate) Recovery Using Dispersions of Sodium Hypochlorite Solution and Chloroform, *Biotechnol. Bioeng.*, **44**, 256 (1994).
- [92] Holmes, P. A. and Lim, G. B., Separation Process. U.S. Patent 4910145, (1990).
- [93] Resch S., Gruber K., Wanner, G., Slater, S., Dennis, D. and Lbitz, W., Aqueous Release and Purification of Poly(hydroxybutyrate) from *Escherichia coli*, *J. Biotechnol.*, **65**, 173 (1998).
- [94] Harrison, S. T. L., Dennis, J. S. and Chase, H. A., Combined Chemical and Mechanical Processes for the Disruption of Bacteria, *Bioseparation*, **2**, 95 (1991).
- [95] Tamer, I. M., Chisti, Y. and Moo-Young, M., Disruption of *Alcaligenes latus* for Recovery of

- Poly(β -hydroxybutyric acid): Comparison of High Pressure Homogenization, Bead Milling and Chemically Induced Lysis. *Ind. Eng. Chem. Res.*, **37**, 1807 (1998).
- [96] Schutte, H., Kroner, K. H., Hustedt, H. and Kula, M. R., Experiences With a 20 Liter Industrial Bead Mill for the Disruption of Microorganisms, *Enzyme Microbiol. Technol.*, **5**, 143 (1983).
- [97] Juhasz T., Szekely E., Simandi B., Szengyel Zs. and Reczey K., Recovery of a Recombinant Thermostable Endoglucanase from *E. coli* Using Supercritical Carbon Dioxide Cell Disruption, *Chem. Biochem. Eng.*, **17**, 131 (2003).

Archive of SID